网络出版时间: 2020 - 4 - 7 16:49 网络出版地址: http://kns.cnki.net/kcms/detail/34.1065.r.20200403.1821.025.html

## 白细胞介素-26 在乙型肝炎相关 慢加急性肝衰竭患者中表达及临床意义

汪 静 王 琴 杨 凯 张 浩 黄程荣 谢 然 管世鹤

摘要 目的 探讨乙型肝炎相关慢加急性肝衰竭(HBV-ACLF) 患者白细胞介素-26(IL-26) 表达水平及其临床意义。 方法 采用酶联免疫吸附试验(ELISA)测定 53 例 HBV-ACLF 患者 53 例慢性乙型肝炎(CHB) 患者以及 18 例健康 对照血清 IL-26 水平。统计一般资料,分析相关临床指标与 IL-26 的相关性 采用多因素 Logistic 回归分析 ,分析患者预 后的独立危险因素 "用 ROC 曲线和生存曲线评价 IL-26 判断 患者预后的性能。结果 HBV-ACLF 患者血清 IL-26 水平明 显高于非 HBV-ACLF 患者。IL-26 表达水平与肌酐和活化部 分凝血活酶时间呈正相关 ,多因素 Logistic 分析中发现总胆 红素和 IL-26 为 HBV-ACLF 患者预后的独立危险因素。IL-26 联合 MELD 建立预后模型(AUC: 0.933) 相较于单个指标 具有更高的灵敏度和准确度。血清 IL-26 > 1 019.68 pg/ml 对预测 HBV-ACLF 患者 90 d 死亡率具有可靠的预后准确 性。结论 IL-26 水平在 HBV-ACLF 患者中明显升高,对监 测 HBV-ACLF 患者病情及治疗预后具有重要临床意义和应 用价值。

关键词 慢加急性肝衰竭; IL-26; 乙型肝炎; 预后中图分类号 R 512.62; R 575.3 文献标志码 A 文章编号 1000 - 1492(2020) 04 - 0612 - 06 doi: 10.19405/j. cnki. issn1000 - 1492.2020.04.025

慢加急性肝衰竭(acute-on-chronic liver failure, ACLF)是一种严重的急性肝功能失代偿,其特征是肝细胞过度免疫反应引起的大量肝细胞死亡,导致胆红素升高和凝血功能紊乱,伴有感染、肝性脑病、肝肾综合征和上消化道出血等并发症。在我国引起肝衰竭的主要病因是肝炎病毒,尤其是乙型肝炎病毒(hepatitis B virus,HBV),其次是药物和肝毒性物质(如乙醇、化学制剂等)[1],是肝脏疾病中死亡的主要原因之一,其特点是进展快速,治疗困难,死亡

2020-01-05 接收

基金项目: 安徽省科技厅重点研究与开发研究项目(编号 1804h08020236);安徽省转化医学研究院科研基金 (2017zhyx11)

作者单位: 安徽医科大学第二附属医院检验科 ,合肥 230601 作者简介: 汪 静 ,女 硕士研究生;

管世鹤 ,男 ,博士 ,教授 ,硕士生导师 ,责任作者 ,E-mail: shiheguan@ 126. com

率高[2]。

白细胞介素-26(IL-26) 是一种含有 171 个氨基 酸的蛋白,属于 IL40 家族的细胞因子[3]。它主要 来源干T细胞,尤其是Th17细胞[4]。Th17细胞是 CD4 <sup>+</sup>T 细胞的促炎症细胞亚群,它可产生几种促炎 细胞因子如 IL-17 ,IL-22 和 TNF-α 激活先天免疫细 胞的抗菌活性 驱动致病性免疫反应[5]。研究[6]表 明 ,慢性乙型肝炎(chronic hepatitis B ,CHB) 患者中 Th17 细胞表达水平随着 CHB 的病情进展而逐步升 高。且乙型肝炎相关慢加急性肝衰竭(hepatitis B virus-associated acute-on-chronic liver failure, HBV-ACLF) 患者 Th17 细胞表达明显高于肝衰竭前患 者[7] JL-26 为宿主防御的潜在参与者 ,是慢性炎症 的致病因素<sup>[8]</sup>。也有研究<sup>[9]</sup> 发现 IL-26 高水平的肝 癌患者术后复发率比较高, 生存期比较低。然而 IL-26 在 HBV-ACLF 中的作用从未被研究过。因此血 清中 IL-26 水平可能在 HBV-ACLF 中发生改变 成 为 HBV-ACLF 的一个有用的生物标志物。

#### 1 材料与方法

1.1 标本来源 选取 2018 年 1 月 ~ 2019 年 4 月, 在安徽医科大学第二附属医院住院确诊为 HBV-ACLE 的患者 53 例 ,男 45 例 ,女 8 例 ,年龄 25~86 (47.36±13.04) 岁; CHB 患者 53 例 男 41 例 女 12 例 年龄 25~61(37.58±9.64)岁;健康对照 18 例, 男 13 例 女 5 例 年龄 18~68(48.83 ± 13.96) 岁为 研究对象。HBV 感染被定义为至少 6 个月可检测到 的乙型肝炎表面抗原(HBsAg)和 HBV DNA。HBV-ACLF 定义为在 HBV 感染慢性肝病基础上 ,患者黄 疸迅速加深[血清总胆红素(total bilirubin ,TBIL) ≥ 10×正常值上限或每日上升≥17.1 μmol/L],凝血 酶原活性(prothrombin activity ,PTA) ≤40% 或国际 标准化比率(international normalized ratio ,INR) ≥ 1.5 ,并伴有腹水和(或)脑病性黄疸[2]。排除标准 如下: 与其他肝炎病毒和/或人类免疫缺陷病毒共感 染的患者 药物性肝炎和酒精性肝病患者 ,甲状腺功 能亢进患者 妊娠患者和肝细胞癌患者。

变量 HBV-ACLF(n = 53) CHB(  $n = \overline{53}$ ) HC(n = 18)P2 值 P3 值 P1 值 年龄(岁)  $47.36 \pm 13.04$  $37.58 \pm 9.64$  $48.83 \pm 13.96$ 0.649 0.000 0.001 性别(男/女) 45/8 41/12 13/5 0.229 0.344 0.631 227(68 578.5) 16(13,19.75) ALT(U/L) 51(33.5,157) 0.000 0.000 0.000 AST(U/L) 191(88 404) 41(27.5 65) 17.5(16 20) 0.0000.0000.000TBIL( µmol/L) 335.5(221.1 447.35) 15(11.8 20.15) 11.85(10.3,13.25) 0.000 0.000 0.008 ALB(g/L) 29.6(25.75 33.85) 39.5(37.35 42.05) 41.55(40.47 42.82) 0.000 0.000 0.352 CREA( µmol/L)  $96.03 \pm 65.05$  $66.22 \pm 14$ 0.951  $65.46 \pm 14.45$ 0.016 0.001  $26.63 \pm 8.51$  $13.72 \pm 1.66$  $11.28 \pm 0.48$ 0.000 0.127 PT(s) 0.000 PT-INR 2.16(1.82 2.75) 1.07(1.02 1.15) 0.87(0.85 \(\rho.89\) 0.000 0.000 0.000 PTA(%) 34(26.75 39) 87.4(78.25 95) 110.8(105.35,116.13) 0.000 0.000 0.000 APTT(s) 57.9(48.55,72.70) 37.35(33.62 40.02) 27.85(26.80 29.37) 0.000 0.000 0.000 PLT( $\times 10^9$ /L) 79(59,121) 157(126.5, 197.25) 206(169.5 229.75) 0.0000.0000.0100.000 0.026 0.000 PDW(%)  $17.21 \pm 2.85$  $16 \pm 1.99$  $14.23 \pm 1.57$ WBC(  $\times 10^9$  /L)  $7.6 \pm 3.98$  $5.56 \pm 1.85$  $5.68 \pm 1.36$ 0.027 0.017 0.804

表 1 不同分组之间检测指标分析结果  $[\bar{x} \pm s M(P_{25}, P_{75})]$ 

P1: HBV-ACLF 患者与健康对照相比较; P2: HBV-ACLF 患者与 CHB 患者相比较; P3: CHB 患者与健康对照相比较

 $0.53 \pm 0.12$ 

1.2 仪器与方法 STA Evolution 型自动血凝分析 仪以及原装配套试剂(法国 Stago 公司) 检测凝血酶 原时间(prothrombin time, PT),活化部分凝血活酶 时间(activated partial thromboplastin time,APTT), INR, PTA。血清白蛋白(albumin, ALB), 血清钠 (Na +) ,血清肌酐(creatinine ,CREA) ,TBIL ,血清丙 氨酸氨基转移酶(alanine aminotransferase ,ALT),血 清天冬氨酸氨基转移酶(aspartate aminotransferase, AST) 检测使用贝克曼 AU-5800 全自动生化分析仪, 试剂为贝克曼原装配套试剂(美国 Beckman Coulter 公司)。白细胞计数(white blood cell count ,WBC), 中性粒细胞百分比(neutrophilic granulocyte percentage ,NEU%) ,血小板计数( platelet count ,PLT) ,血小 板分布宽度(platelet distribution width PDW) 检测使 用 SYSMEXE-2100 及其配套的检测试剂盒和质控 品(美国 Applied Biosystems 公司)。血清 IL-26 检测 使用人 IL-26 酶联免疫吸附试验(ELISA) 试剂盒 (武汉华美生物公司)定量测定 样品和标准曲线值 在 450 nm 处用 microplate reader(美国 BioTek 公司) 测量。

 $0.69 \pm 0.14$ 

NEU%

1.3 统计学处理 数据采用 SPSS 22.0 ,GraphPad Prism6. 0 和 MedCalc 15.2 统计分析。连续变量若符合正态分布则表示为 $\bar{x} \pm s$  ,若不符合正态分布则用中位数及四分位数表示 ,数据正态分布两组间采用 t 检验 ,多组间比较采用单因素方差分析 ,两两组间比较方差齐性采用 LSD 检验 ,方差非齐性采用 Tamhane's T2 检验。偏态分布数据两组间比较采用Mann-Whitney U 检验 ,多组间比较采用非参数 Kruskal-Wallis H 秩 和 检 验。Pearson 检验和

Spearman 检验用于评估 IL-26 与其他临床参数之间的相关性,两个变量之间的关联被测量为 Pearson 相关系数(r),P < 0.05 为差异有统计学意义。IL-26 诊断效能用敏感性、特异性和临界值,并构建 ROC 曲线,P ROC-AUC 之间比较用P Z 检验。多因素分析采用 Logistic 回归方程分析,P Kaplan-Meier 曲线用于生存分析。

0.000

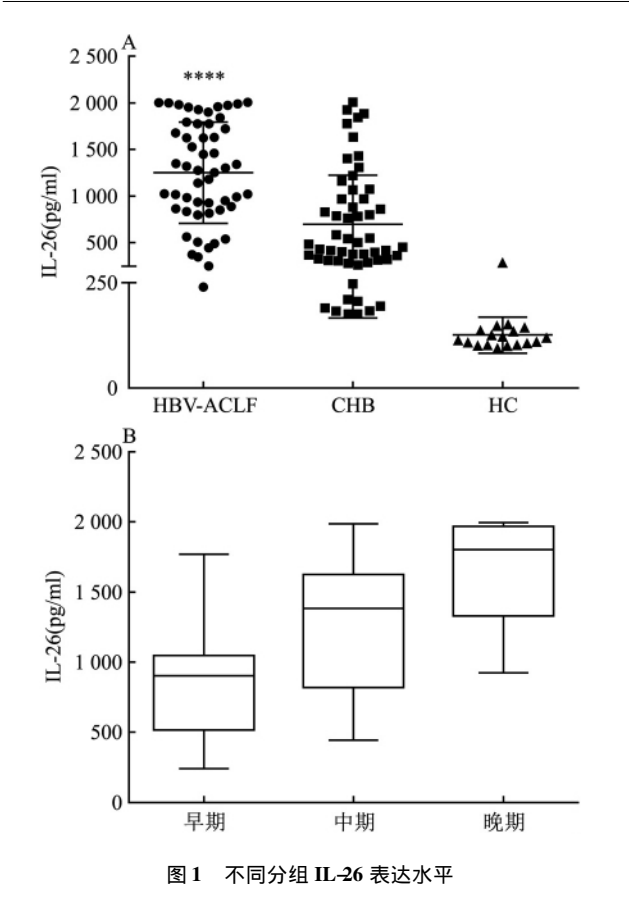
0.000

0.382

 $0.53 \pm 0.85$ 

#### 2 结果

- 2.1 一般资料 本研究共纳入 124 例研究对象 53 例 HBV-ACLF 患者(HBV-ACLF 组) 53 例 CHB 患者(CHB 组) 和 18 例健康对照组(HC 组)。基线特征和实验室数据见表 1。ACLF 患者的 TBIL、ALT、AST、CREA、PT、INR、APTT、WBC、NEU%、PDW 高于 CHB 和健康对照 ,而 PTA、PLT 和 ALB 水平则低于 CHB 和健康对照者。
- 2.2 HBV-ACLF 患者不同分组 IL-26 水平比较根据检测结果显示 HBV-ACLF 患者的 IL-26 水平(1250.88 ± 542.55) pg/ml 明显高于 CHB 和健康对照患者(695.54 ± 528.27) pg/ml 和(126.28 ± 42.82) pg/ml P < 0.0001。见图 1A。根据临床表现的严重程度 对纳入研究的 53 例 HBV-ACLF 患者分为早期、中期和晚期 3 组 分期标准依据中华医学会感染病学分会肝衰竭与人工肝学组《肝衰竭防治指南》(2018 年版) 结果显示随着病情程度加重 IL-26 表达水平逐渐升高。见图 1B。
- 2.3 HBV-ACLF 患者 IL-26 水平与其他相关指标的相关性分析 对 HBV-ACLF 患者的 IL-26 水平与其他指标结果进行 Pearson 和 Spearman 相关性分



A: 与 HC 组和 CHB 组比较: \*\*\*\*P < 0.000 1; B: HBV-ACLF 患者不同分期 IL-26 表达水平

析 ,发现 IL-26 水平与 CREA ( $r_s=0.309$ , P=0.027) ,APTT( $r_s=0.375$ , P=0.006) 正相关 ,此外 ,还发现 IL-26 与 MELD(r=0.371, P=0.007) 和 MELD-Na 评分(r=0.305, P=0.028) 之间也是显著正相关 ,见图 2。

2.4 HBV-ACLF 预后相关的风险因素 在单因素和多因素 Logistic 回归分析中发现,单因素分析

HBV-ACLF 患者预后中 ,TBIL( P=0.003) 、INR( P=0.011) 、CREA( P=0.011) 、APTT( P=0.006) 、PT ( P=0.011) 、IL-26( P=0.000) ,差异有统计学意义; 多因素分析中 ,TBIL( P=0.036) 和 IL-26( P=0.012) 是 HBV-ACLF 患者 90 d 死亡率独立预测因子。见表 2。

2.5 IL-26 对 HBV-ACLF 预后的预测价值 通过绘制 IL-26、MELD 评分、MELD 联合 IL-26 模型的 ROC 曲线 ,见图 3 ,结果显示: MELD 联合 IL-26 模型(AUC: 0. 933 ,95% CI: 0. 829 ~ 0. 983) 高于 IL-26 值(AUC: 0. 846 ,95% CI: 0. 720 ~ 0. 930)、MELD 评分(AUC: 0. 851 ,95% CI: 0. 727 ~ 0. 934)的曲线下面积。MELD 联合 IL-26 模型 [AUC: (0. 933 ± 0. 033)]与 MELD 评分 [AUC: (0. 851 ± 0. 051)]相比 Z = 2. 275 P < 0. 05 ,说明 MELD 联合 IL-26 模型对预测 HBV-ACLF 患者预后更具有意义。本研究中 通过 ROC 曲线分析得出 IL-26 的最佳临界值为1 019. 68 pg/ml。生存曲线显示,与 IL-26 < 1 019. 68 pg/ml 比较 基线 IL-26 > 1 019. 68 pg/ml 的HBV-ACLF 患者 90 d 死亡率更高(P < 0.000 1 ,见图 4)。

#### 3 讨论

ACLF 是一种伴有多器官功能障碍的慢性肝病严重恶化的综合征<sup>[1]</sup> 短期死亡率在 28 d 时可达到 30% ~50% 在 90 d 时达到 50% ~80%。除肝移植外 ,ACLF 患者在晚期没有有效的治疗策略 ,然而 ,早期确定的 ACLF 患者在接受适当的治疗后具有可逆性<sup>[10]</sup>。因此 ACLF 患者需及早被诊断 ,并为潜在的高风险患者给予及时治疗 ,同时对这些患者进行

项目	单因素分析			多因素分析		
	P 值	OR	95% CI	P 值	OR	95% CI
生别	0.353	0.480	0.102 ~ 2.256			
丰龄	0.115	1.038	0.991 ~1.086			
LT	0.306	1.000	0.999 ~ 1.000			
AST	0.762	1.000	0.999 ~ 1.001			
BIL	0.003	1.007	1.002 ~ 1.012	0.036	1.010	1.001 ~ 1.020
CREA	0.011	1.030	1.007 ~ 1.053	0.075	1.027	0.997 ~ 1.057
Т	0.011	1.121	1.026 ~ 1.224	0.399	1.339	0.679 ~ 2.638
NR	0.011	3.508	1.336 ~ 9.212	0.611	0.182	0.000 ~ 129.698
PTT	0.006	1.052	1.015 ~ 1.091	0.981	1.001	0.944 ~ 1.061
PLT	0.350	0.995	0.984 ~ 1.006			
PDW	0.072	1.274	0.978 ~ 1.658			
VBC	0.241	1.090	0.944 ~ 1.259			
NEU%	0.235	1.096	0.942 ~ 1.275			
L <b>-2</b> 6	0.000	1.003	1.001 ~ 1.005	0.012	1.004	1.001 ~ 1.007

表 2 HBV-ACLF 预后相关因子分析

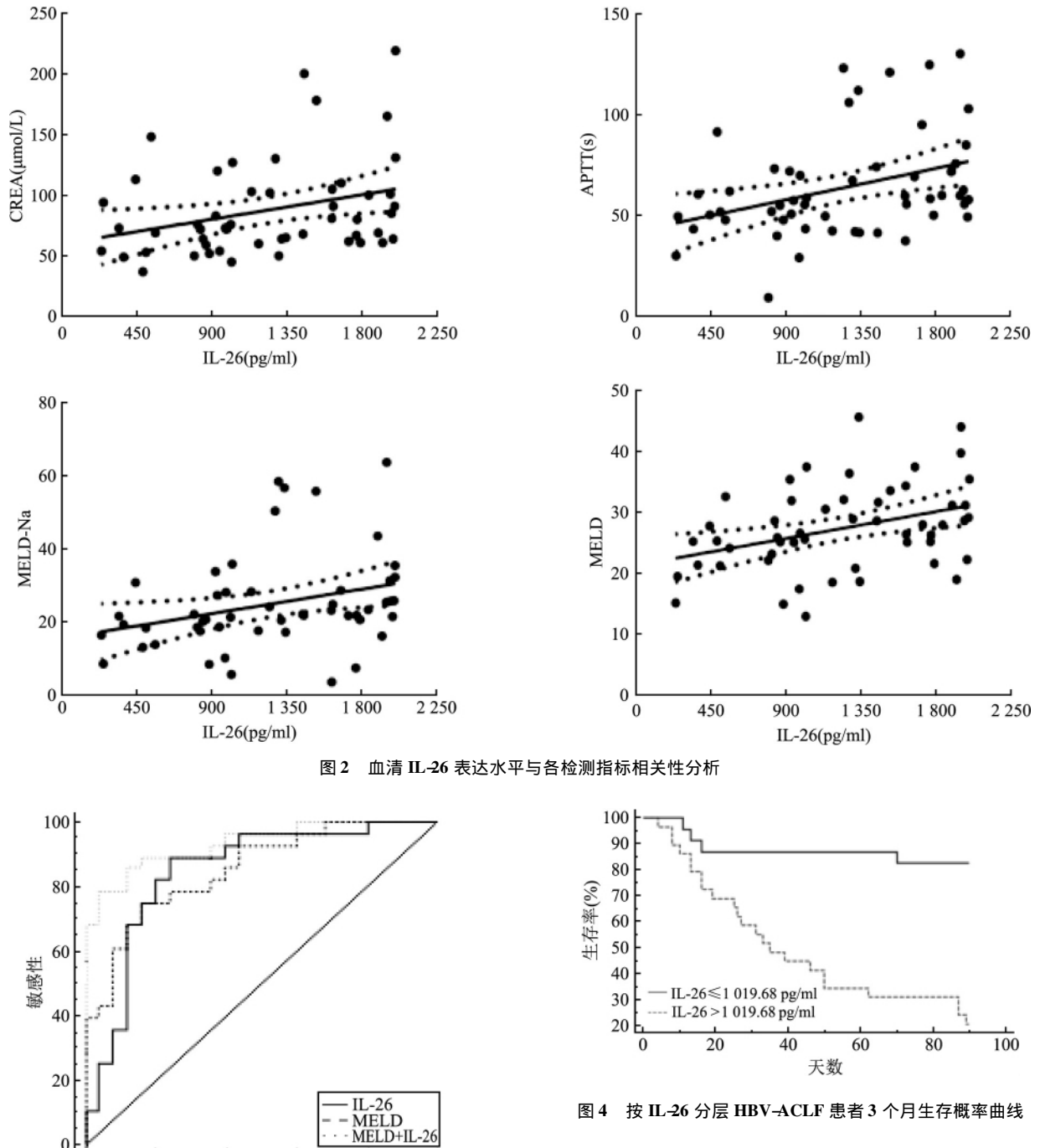


图 3 IL-26、MELD 评分和 MELD-IL-26 模型的 ROC 曲线

100-特异性

40

60

更密切的监测和干预,以预防发展为死亡。

20

过度全身性炎症反应是 ACLF 发生的关键。已 有研究[11] 发现 ACLF 不良预后与加剧的全身炎症 反应密切相关。IL-26 是一种新型的炎症因子,IL-26 参与多种慢性炎性疾病的致病机制,包括慢性丙 型肝炎[12] 以及脓毒血症[13] 等,本研究发现 HBV-ACLF 患者 IL-26 水平明显高于 CHB 患者以及健康

对照,且随着病情程度的加重,其表达也是逐渐升 高。在与其他指标相关性分析中发现血清 IL-26 水 平与 CREA (r = 0.309, P = 0.027) 和 APTT ( $r_s =$ 0.375 P=0.006) 相关 ,这有可能是因为 ACLF 患者 肾损伤与全身炎症相似,而有研究[14]表明 IL-26 可 通过 IL-10R2/IL-20R1 异二聚体受体在上皮细胞上 传递信号 导致 IL-6、IL-1b、IL-8 等促炎细胞因子的 分泌 ,且肝脏是合成大部分凝血因子和抗凝因子的 物质 肝衰竭患者存在明显的凝血功能障碍。同时 IL-26 也具有和抗菌肽 AMP 相似的抗菌作用[15] ,由

于 ACLF 患者中常发生细菌感染,这也可能导致 HBV-ACLF 患者 IL-26 的表达远高于 CHB 患者的原因。

在本研究中,Logistic 多因素分析中发现 TBIL (P=0.036) 和 IL-26(P=0.012) 与 HBV-ACLF 短期预后相关,目前临床上主要通过反映肝功能指标组成的评分系统来判断 HBV-ACLF 患者的预后,常用的有 MELD 评分、MELD-Na 评分,本研究也可看出 IL-26 与 MELD、MELD-Na 评分正相关(r=0.371 r=0.305),且 IL-26 联合 MELD 建立预后模型(AUC: 0.933) 相较于单个指标更具有灵敏度和准确度。血清 IL-26 水平的 > 1 019.68 pg/ml 对预测 HBV-ACLF 患者 90 d 死亡率具有可靠的预后准确性。

综上所述,IL-26 表达在 HBV-ACLF 患者中明显升高且与病情严重程度密切相关,对诊断 HBV-ACLF 及监测其病情与疗效具有重要临床意义和应用价值。

#### 参考文献

- [1] Hernaez R , Solà E , Moreau R , et al. Acute-on-chronic liver failure: an update [J]. Gut , 2017 , 66(3): 541 53.
- [2] 中华医学会感染病学分会肝衰竭与人工肝学组,中华医学会 肝病学分会重型肝病与人工肝学组. 肝衰竭诊治指南(2018 年版[J]. 中华传染病杂志,2019,37(1):1-9.
- [3] Wei H , Li B , Sun A , et al. Interleukin-10 Family Cytokines Immunobiology and Structure [J]. Adv Exp Med Biol , 2019 , 1172: 79 96
- [4] Fujii M, Nishida A, Imaeda H, et al. Expression of Interleukin– 26 is upregulated in inflammatory bowel disease [J]. World J Gastroenterol, 2017, 23(30): 5519 – 29.
- [5] Dixon B R E A , Hossain R , Patel R V. Th17 Cells in Helicobacter pylori Infection: a Dichotomy of Help and Harm [J]. Infect Im-

- mun , 2019 , 87(11): e00363 19.
- [6] 黄进发,徐 涛,潘兴南,等.慢性乙型肝炎患者外周血中调节性T淋巴细胞、I型调节性T淋巴细胞和辅助性T淋巴细胞和,17 的表达特点及临床意义[J].临床肝胆病杂志,2015,31 (4):551-5.
- [7] 高海兵,王香梅,刘宝荣,等. HBV 相关慢加急性肝衰竭患者 Treg 细胞、Th17 细胞表达特点及其与 HBV 前 C 区/BCP 区变 异的相关性[J]. 肝脏,2018,23(1):18-21.
- [8] Tengvall S , Che K F , Lindén A. Interleukin-26: An Emerging Player in Host Defense and Inflammation [J]. J Innate Immun , 2016 ,8(1): 15 – 22.
- [9] Xi Z F , Jeong S , Wang C C , et al. Expression of IL-26 predicts prognosis of patients with hepatocellular carcinoma after surgical resection [J]. Hepatobiliary Pancreat Dis Int , 2019 , 18(3): 242 -8.
- [10] Jalan R , Saliba F , Pavesi M , et al. Development and validation of a prognostic score to predict mortality in patients with acute-onchronic liver failure [J]. J Hepatol , 2014 , 61(5): 1038-47.
- [11] Clària J, Stauber R E, Coenraad M J, et al. Systemic inflammation in decompensated cirrhosis: Characterization and role in acute-on-chronic liver failure [J]. Hepatology, 2016, 64 (4): 1249-64.
- [12] Miot C, Beaumont E, Duluc D, et al. IL-26 is overexpressed in chronically HCV-infected patients and enhances TRAIL-mediated cytotoxicity and interferon production by human NK cells [J]. Gut ,2015 ,64(9): 1466-75.
- [13] Tu H, Lai X, Li J, et al. Interleukin-26 is overexpressed in human sepsis and contributes to inflammation, organ injury, and mortality in murine sepsis [J]. Crit Care, 2019, 23(1): 290.
- [14] Kragstrup T W , Andersen T , Heftdal L D , et al. The IL-20 Cytokine Family in Rheumatoid Arthritis and Spondyloarthritis [J]. Front Immunol , 2018 , 9: 2226.
- [15] Meller S, Di Domizio J, Voo K S, et al. T(H) 17 cells promote microbial killing and innate immune sensing of DNA via interleukin 26 [J]. Nat. Immunol, 2015, 16(9): 970-9.

# Expression and clinical significance of IL-26 in hepatitis B virus-associated acute-on-chronic liver failure

Wang Jing, Wang Qin, Yang Kai, et al

( Dept of Clinical Laboratory, The Second Affiliated Hospital of Anhui Medical University, Hefei 230601)

Abstract *Objective* To investigate the expression level of Interleukin-26 (IL-26) in hepatitis B virus-associated acute-on-chronic liver failure (HBV-ACLF) and its clinical significance. *Methods* Serum IL-26 levels were measured by enzyme-linked immunosorbent assay (ELISA) in 53 patients with HBV-ACLF, 53 patients with chronic hepatitis B (CHB) and 18 healthy controls. General data were statistically analyzed, and relevant clinical indicators were analyzed for their correlations with IL-26. Multivariate logistic regression analysis was used to assess independent risk factors for prognosis of patients. ROC curve and survival curve were used to evaluate the prognosis perform-

网络出版时间: 2020 - 4 - 7 16:49 网络出版地址: http://kns.cnki.net/kcms/detail/34.1065.r.20200403.1821.026. html

### CYFIP1 表达与肝细胞性肝癌发生发展的相关性研究

顾 炯,崔 笑,侯 辉,喻宗繁,张 彬,熊奇如

摘要 目的 研究细胞质 FMR1 相关蛋白 1 ( CYFIP1 ) 在肝细胞性肝癌( HCC) 组织中的表达及与 HCC 发生发展的相关性。方法 利用组织微阵列分析检测 80 例原发性肝细胞性肝癌的肿瘤组织与癌旁正常肝组织中 CYFIP1 的表达水平,并分析其与临床特征的相关性; 运用 Annexin V-FITC/PI 双染标记法检测 HepG2 细胞沉默 CYFIP1 后的凋亡水平; 运用Western blot 法检测 CYFIP1 的蛋白表达变化。结果 组织芯片染色结果提示肿瘤组织中 CYFIP1 表达量降低( P=0.031) ,且与 HCC 患者的肿瘤分化程度、肿瘤直径及生存期存在相关性。采用 shRNA 沉默 CYFIP1 后,HepG2 细胞的细胞增殖水平上升( P=0.019),且细胞凋亡水平下降( P=0.021)。结论 CYFIP1 是 HCC 的抑癌基因,可能成为患者临床预后的监测指标。

关键词 肝细胞性肝癌; CYFIP1; 基因沉默中图分类号 R 735.7

文献标志码 A 文章编号 1000 - 1492(2020) 04 - 0617 - 04 doi: 10.19405/j. cnki. issn1000 - 1492.2020.04.026

与其他常见肿瘤相比,肝细胞性肝癌(hepato-carcinoma, HCC) 恶性程度较高、易复发,而且治疗方式有限,患者预后较差,生存期较短<sup>[1]</sup>。细胞信号通路如 PI3K-AKT-mTOR、JAK-STAT、Wnt/β-catenin

2020-01-09 接收

基金项目: 安徽省自然科学基金( 编号: 1808085MH270)

作者单位: 安徽医科大学第二附属医院普外科 / 合肥 230601

作者简介: 顾 炯 ,男 副主任医师;

熊奇如,男,主任医师,教授,博士生导师,责任作者,E-

mail: zdc1987@ yeah. net

等<sup>[2]</sup>已被证实在 HCC 的发生发展中具有重要作用,肿瘤分子靶向治疗也成为近年来的研究热点。针对 HCC 的分子靶向药物如索拉非尼、乐伐替尼等在临床治疗中得到了越来越多的应用,但是分子靶向治疗的效果不尽如人意,部分药物治疗后期耐药率较高<sup>[3]</sup>。因此,需要对 HCC 发病的分子机制进行进一步研究,帮助发现更有效的靶向药物或治疗方法。

细胞内 mRNA 翻译通常有 2 种途径: Cap-依赖型和非 Cap-依赖型。Cap-依赖型 mRNA 翻译异常与很多肿瘤的发生发展有关<sup>[4]</sup>。在 Cap-依赖型mRNA 翻译进程中 起始阶段的调控作用尤其重要,主要参与的调控因子有: 真核起始因子复合物 4F (eukaryotic initiation factor 4F EIF4F) 以及 CYFIP1-EIF4E-FMR1 复合物<sup>[5-6]</sup>。其中细胞质 FMR1 相关蛋白 1 (cytoplasmic FMR1-interacting protein 1 ,CY-FIP1) 被证实是一些肿瘤如鼻咽癌、乳腺癌等的潜在抑制因子<sup>[4-7]</sup>,但是 CYFIP1 在 HCC 发病中的作用目前尚不清楚。故该研究主要探讨 CYFIP1 的表达与 HCC 临床特征之间的相关性。

#### 1 材料与方法

#### 1.1 材料

1.1.1 组织标本与病例资料 组织标本取自安徽 医科大学第二附属医院的标本库,并制作成组织芯片。共纳入4张组织芯片,包括80例HCC患者的肿瘤组织以及对应的癌旁正常组织。80例患者均

ance of patients. *Results* The level of IL-26 in HBV-ACLF patients was significantly higher than that in non-aclf patients. The expression of IL-26 was positively correlated with creatinine (CREA) and activated partial thromboplastin time (APTT). Multivariate logistic analysis showed that total bilirubin (TBIL) and IL-26 were independent risk factors. The prognostic model AUC (0. 933) established by IL-26 combined with MELD was more sensitive and accurate than single index. Serum IL-26 > 1 019. 68 pg/ml had reliable prognostic accuracy in predicting 90-day mortality in patients with HBV-ACLF. *Conclusion* The level of IL-26 significantly increased in patients with HBV-ACLF.

Key words acute-on-chronic liver failure; IL-26; hepatitis B; prognosis